

УДК 539.375

РЕМОНТ ПЛАСТИНЫ С КРУГОВЫМ ВЫРЕЗОМ ПОСРЕДСТВОМ ЗАПЛАТКИ

В. В. Сильвестров, А. Ю. Землянова

Чувашский государственный университет им. И. Н. Ульянова, 428015 Чебоксары

Изучено напряженное состояние тонкой упругой бесконечной пластины с круговым вырезом, на который наложена круглая заплатка большего радиуса. Центры выреза и заплатки совпадают. Заплатка присоединена к пластине вдоль всей своей границы. На бесконечности пластины и на границе выреза действуют заданные напряжения. Методом степенных рядов найдены комплексные потенциалы Мусхелишвили, исследовано поведение напряжений на линии соединения заплатки с пластиной и на границе выреза.

Ключевые слова: пластина с вырезом, комплексные потенциалы Мусхелишвили, напряжения.

1. Постановка задачи. Пусть на тонкую упругую пластину S с круговым вырезом, занимающую на комплексной плоскости $z = x + iy$ область $|z| \geq R$, наложена тонкая упругая круглая заплатка $S_1: |z| \leq R_1$ ($R \leq R_1$), которая присоединена к пластине без натяга и промежуточных прослоек вдоль своей границы $L_1: |z| = R_1$. Пластина и заплатка являются однородными, изотропными и имеют толщины, модули сдвига, коэффициенты Пуассона h, μ, ν и h_1, μ_1, ν_1 соответственно. На бесконечности в плоскости пластины действуют заданные нормальные $\sigma_x^\infty, \sigma_y^\infty$, касательное τ_{xy}^∞ напряжения и вращение ω^∞ , а на границе $L: |z| = R$ — заданные нормальное σ_r и касательное $\tau_{r\theta}$ напряжения:

$$(\sigma_r + i\tau_{r\theta})(t) = p(t), \quad t \in L. \quad (1.1)$$

На линии L_1 соединения заплатки с пластиной выполняются условия равенства смещений точек этой линии со стороны пластины и заплатки и условие равновесия ее точек:

$$(u + iv)_1(t) = (u + iv)_2(t) = (u + iv)_3(t), \quad (1.2)$$

$$h_1(\sigma_r + i\tau_{r\theta})_1(t) + h(\sigma_r + i\tau_{r\theta})_2(t) = h(\sigma_r + i\tau_{r\theta})_3(t), \quad t \in L_1,$$

где $u + iv$ — вектор смещений; нижний индекс 1 соответствует заплатке; индекс 2 — части $S_2: R < |z| < R_1$ пластины, находящейся внутри линии соединения; индекс 3 — части $S_3: |z| > R_1$ пластины, находящейся снаружи линии соединения.

Будем считать, что поверхности пластины и заплатки касаются друг друга без трения и в них реализуется обобщенное плоское напряженное состояние, определяемое по формулам Колосова — Мусхелишвили [1] в полярных координатах:

$$(\sigma_r + \sigma_\theta)_k(z) = 4 \operatorname{Re} \Phi_k(z),$$

$$(\sigma_r + i\tau_{r\theta})_k(z) = \Phi_k(z) + \overline{\Phi_k(z)} - z\overline{\Phi'_k(z)} - z^{-1}\overline{z\Psi_k(z)},$$

$$2\mu_k \frac{\partial}{\partial \theta} (u + iv)_k(z) = iz(\alpha_k \Phi_k(z) - \overline{\Phi_k(z)} + z\overline{\Phi'_k(z)} + z^{-1}\overline{z\Psi_k(z)}), \quad (1.3)$$

$$2\mu_k \frac{\partial}{\partial r} (u + iv)_k(z) = e^{i\theta} (\varkappa_k \Phi_k(z) - \overline{\Phi_k(z)}) - r \overline{\Phi'_k(z)} - e^{-i\theta} \overline{\Psi_k(z)},$$

$$z \in S_k, \quad \varkappa_1 = \frac{3 - \nu_1}{1 + \nu_1}, \quad \varkappa_2 = \varkappa_3 = \varkappa = \frac{3 - \nu}{1 + \nu}, \quad \mu_2 = \mu_3 = \mu, \quad k = 1, 2, 3.$$

Здесь $\sigma_r, \sigma_\theta, \tau_{r\theta}$ — компоненты тензора напряжений в полярных координатах r, θ ($r e^{i\theta} = x + iy$) в расчете на единицу толщины пластины или заплатки; $\Phi_k(z), \Psi_k(z)$ — однозначные аналитические функции (комплексные потенциалы) в области S_k , причем на бесконечности

$$\Phi_3(z) = \Gamma + Qz^{-1} + O(z^{-2}), \quad \Psi_3(z) = \Gamma' - \varkappa \overline{Q}z^{-1} + O(z^{-2}), \quad (1.4)$$

где

$$\Gamma = \frac{\sigma_x^\infty + \sigma_y^\infty}{4} + \frac{2i\mu}{1 + \varkappa} \omega^\infty, \quad \Gamma' = \frac{\sigma_y^\infty - \sigma_x^\infty}{2} + i\tau_{xy}^\infty, \quad Q = -\frac{X + iY}{2\pi(1 + \varkappa)h}.$$

В (1.4) $X + iY = ih \int_L p(t) dt = -hR \int_0^{2\pi} p(R e^{i\theta}) e^{i\theta} d\theta$ есть главный вектор внешних усилий, действующих на границе выреза.

2. Решение задачи. Запишем заданную функцию $p(t), t \in L$ как функцию от полярного угла θ :

$$p(t) = p(R e^{i\theta}) = g(\theta), \quad 0 \leq \theta \leq 2\pi \quad (R = \text{const}). \quad (2.1)$$

Как и при решении основных задач теории упругости для круга [1], будем считать функцию $g(\theta)$ непрерывно-дифференцируемой на отрезке $[0, 2\pi]$, удовлетворяющей условиям $g(0) = g(2\pi), g'(0) = g'(2\pi)$ и имеющей вторую производную, удовлетворяющую условию Дирихле. Тогда эта функция разлагается в комплексный ряд Фурье

$$p(R e^{i\theta}) = \sum_{n=-\infty}^{+\infty} A_n e^{in\theta}, \quad 0 \leq \theta \leq 2\pi, \quad (2.2)$$

где

$$A_n = \frac{1}{2\pi} \int_0^{2\pi} p(R e^{i\theta}) e^{-in\theta} d\theta, \quad n = 0, \pm 1, \dots$$

Коэффициенты A_n удовлетворяют неравенствам

$$|A_n| \leq M/|n|^3, \quad M = \text{const} > 0, \quad n = \pm 1, \pm 2, \dots, \quad (2.3)$$

обеспечивающим правомерность всех производимых в дальнейшем операций со степенными рядами.

Комплексные потенциалы в областях S_k будем искать в виде степенных рядов:

$$\Phi_k(z) = \sum_{n=-\infty}^{+\infty} a_{nk} z^n, \quad \Psi_k(z) = \sum_{n=-\infty}^{+\infty} b_{nk} z^n, \quad (2.4)$$

где

$$a_{n1} = b_{n1} = 0, \quad n = -1, -2, \dots, \quad a_{n3} = b_{n3} = 0, \quad n = 1, 2, \dots \quad (2.5)$$

и, согласно (1.4),

$$a_{03} = \Gamma, \quad a_{-13} = Q, \quad b_{03} = \Gamma', \quad b_{-13} = -\varkappa \overline{Q}. \quad (2.6)$$

На основании условий (1.1), (1.2) и формул (1.3) на окружностях L и L_1 имеем следующие краевые условия:

$$\begin{aligned} \Phi_2(t) + \overline{\Phi_2(t)} - t\overline{\Phi_2'(t)} - t^{-1}\overline{t\Psi_2(t)} &= p(t), \quad t = R e^{i\theta}, \\ \mu_*^{-1}(\varkappa_1\Phi_1(t) - \overline{\Phi_1(t)} + t\overline{\Phi_1'(t)} + t^{-1}\overline{t\Psi_1(t)}) &= \varkappa\Phi_2(t) - \overline{\Phi_2(t)} + t\overline{\Phi_2'(t)} + t^{-1}\overline{t\Psi_2(t)} = \\ &= \varkappa\Phi_3(t) - \overline{\Phi_3(t)} + t\overline{\Phi_3'(t)} + t^{-1}\overline{t\Psi_3(t)}, \quad t = R_1 e^{i\theta}, \quad (2.7) \\ h_*(\Phi_1(t) + \overline{\Phi_1(t)} - t\overline{\Phi_1'(t)} - t^{-1}\overline{t\Psi_1(t)}) + \Phi_2(t) + \overline{\Phi_2(t)} - t\overline{\Phi_2'(t)} - t^{-1}\overline{t\Psi_2(t)} &= \\ &= \Phi_3(t) + \overline{\Phi_3(t)} - t\overline{\Phi_3'(t)} - t^{-1}\overline{t\Psi_3(t)}, \quad t = R_1 e^{i\theta}, \\ 0 \leq \theta \leq 2\pi, \quad \mu_* &= \mu_1/\mu, \quad h_* = h_1/h. \end{aligned}$$

Считая ряды (2.4) и ряды, полученные почленным дифференцированием от $\Phi_k(z)$, равномерно сходящимися в соответствующих областях S_k , включая их границы, подставим их в условия (2.7). Тогда, учитывая (2.1), (2.2), (2.5), (2.6), для нахождения остальных неизвестных коэффициентов a_{nk} , b_{nk} этих рядов получим бесконечную систему линейных алгебраических уравнений, которая распадается на конечные системы относительно отдельных групп коэффициентов. Их решения находятся по следующим формулам:

$$\begin{aligned} a_{02} &= \frac{(\varkappa_1 - 1)(\varkappa + 1) \operatorname{Re} \Gamma + 2h_*\mu_*R_*^2 \operatorname{Re} A_0}{2h_*\mu_*(\varkappa - 1 + 2R_*^2) + (\varkappa_1 - 1)(\varkappa + 1)} + i \operatorname{Im} \Gamma, \quad a_{12} = \frac{2(1 - R_*^2)\overline{Q} + R_1R_*^3A_1}{R_1^2\beta_1}, \\ a_{01} &= \frac{\mu_*}{\varkappa_1 - 1} ((\varkappa - 1 + 2R_*^2) \operatorname{Re} a_{02} - R_*^2 \operatorname{Re} A_0) + \frac{i\mu_*}{\varkappa_1 + 1} ((\varkappa + 1) \operatorname{Im} \Gamma - R_*^2 \operatorname{Im} A_0), \\ a_{11} &= -\frac{\varkappa + 1}{h_*} a_{12}, \quad a_{22} = \frac{\Delta_2}{R_1^2} \left(3 \frac{\varkappa + 1}{\mu_*} (1 - R_*^2)\Gamma' + \gamma_2 R_*^4 A_2 + 3\alpha(1 - R_*^2)\overline{A_{-2}} \right), \\ a_{21} &= -(\varkappa + 1)h_*^{-1}a_{22}, \quad a_{-22} = R_1^2\Delta_2(\mu_*^{-1}(\varkappa + 1)\beta_2\overline{\Gamma'} + \alpha\beta_2A_{-2} - \alpha(1 - R_*^2)R_*^4\overline{A_2}), \\ a_{-23} &= \alpha^{-1}\mu_*^{-1}((\varkappa + 1)a_{-22} - h_*\mu_*R_1^2\overline{\Gamma'}), \quad a_{-12} = Q, \quad b_{-12} = -\varkappa\overline{Q}, \\ b_{01} &= \mu_*\Gamma' + \mu_*\varkappa R_1^{-2}\overline{a_{-23}} - R_1^2a_{21}, \quad b_{02} = R^{-2}\overline{a_{-22}} - R^2a_{22} - \overline{A_{-2}}, \\ b_{-33} &= \varkappa\overline{a_{12}}R_1^4 + b_{-32}, \quad b_{-32} = \overline{a_{12}}R^4 + 2QR^2 - \overline{A_1}R^3, \quad (2.8) \\ b_{-23} &= \mu_*^{-1}R_1^2(\varkappa_1 - 1) \operatorname{Re} a_{01} - R_1^2(\varkappa - 1) \operatorname{Re} \Gamma + iR^2 \operatorname{Im} A_0, \quad b_{-22} = 2R^2 \operatorname{Re} a_{02} - R^2\overline{A_0}, \\ b_{-42} &= 3R^2a_{-22} + R^6\overline{a_{22}} - R^4\overline{A_2}, \quad b_{-43} = \mu_*^{-1}\varkappa_1R_1^6\overline{a_{21}} + 3R_1^2a_{-23}, \\ a_{n2} &= R_1^{-n}\Delta_n(\gamma_nR_*^{n+2}A_n + (n+1)\alpha(1 - R_*^2)R_*^{2-n}\overline{A_{-n}}), \quad a_{n1} = -(\varkappa + 1)h_*^{-1}a_{n2}, \\ a_{-n2} &= R_1^n\Delta_n\alpha(R_*^{2-n}\beta_nA_{-n} - (n-1)(1 - R_*^2)R_*^{n+2}\overline{A_n}), \quad a_{-n3} = \alpha^{-1}\mu_*^{-1}(\varkappa + 1)a_{-n2}, \\ b_{-(n+2)2} &= (n+1)R^2a_{-n2} + R^{2n+2}\overline{a_{n2}} - R^{n+2}\overline{A_n}, \quad b_{-(n+2)3} = \mu_*^{-1}\varkappa_1R_1^{2n+2}\overline{a_{n1}} + (n+1)R_1^2a_{-n3}, \\ b_{(n-2)1} &= \mu_*\varkappa R_1^{2-2n}\overline{a_{-n3}} - (n-1)R_1^2a_{n1}, \quad b_{(n-2)2} = R^{2-2n}\overline{a_{-n2}} - (n-1)R^2a_{n2} - \overline{A_{-n}}R^{2-n}, \\ b_{(n-2)1} &= \frac{\mu_*\varkappa\overline{a_{-n3}}}{R_1^{2n-2}} - (n-1)R_1^2a_{n1}, \quad b_{(n-2)2} = \frac{\overline{a_{-n2}}}{R^{2n-2}} - \frac{\overline{A_{-n}}}{R^{n-2}} - (n-1)R^2a_{n2}, \quad n = 3, 4, \dots, \end{aligned}$$

где $R_* = R/R_1$, $\alpha = \mu_*^{-1}(\varkappa + 1 + h_*\mu_*\varkappa)$, $\beta_n = \varkappa + \mu_*^{-1}h_*^{-1}\varkappa_1(\varkappa + 1) + R_*^{2n+2}$, $\gamma_n = h_*\varkappa^2 + R_*^{2-2n}\alpha$, $\Delta_n = (\beta_n\gamma_n + \alpha(n^2 - 1)(1 - R_*^2)^2)^{-1}$.

Из этих формул и неравенств (2.3) следует, что при $n \rightarrow \infty$ коэффициенты рядов (2.4) убывают как $|n|^{-3}$, что обеспечивает сходимость этих рядов.

ЗАМЕЧАНИЕ. Решение задачи в случае заклеивания кругового выреза заплаткой того же радиуса можно получить из найденного решения непосредственно предельным переходом $R_1 \rightarrow R$. Полученные таким образом формулы совпадают с точностью до обозначений с формулами, приведенными в [2]. При этом условия сопряжения (1.2) можно записать в виде

$$(u + iv)_1(t) = (u + iv)_3(t), \quad h_1(\sigma_r + i\tau_{r\theta})_1(t) = h(\sigma_r + i\tau_{r\theta})_3(t), \\ (u + iv)_2(t) = (u + iv)_1(t), \quad t \in L$$

(последнее условие на окончательное решение задачи не влияет).

3. Исследование напряженного состояния при $p(t) = 0$. Если граница выреза свободна от напряжений, то все коэффициенты $A_n = 0$. Тогда из формул (2.4), (2.8) получим следующие представления для комплексных потенциалов:

$$\Phi_k(z) = a_{-2k}z^{-2} + a_{0k} + a_{2k}z^2, \quad (3.1)$$

$$\Psi_k(z) = b_{-4k}z^{-4} + b_{-2k}z^{-2} + b_{0k}, \quad z \in S_k, \quad k = 1, 2, 3,$$

где $a_{-21} = a_{23} = b_{-41} = b_{-21} = 0$. Тогда напряжения в точке $z = r e^{i\theta} \in S_k$ пластины или заплатки согласно (1.3) находятся по формулам:

$$\begin{aligned} \sigma_r(z)_k &= 2 \operatorname{Re} a_{0k} - r^{-2} \operatorname{Re} b_{-2k} + (4r^{-2} \operatorname{Re} a_{-2k} - r^{-4} \operatorname{Re} b_{-4k} - \operatorname{Re} b_{0k}) \cos 2\theta + \\ &\quad + (4r^{-2} \operatorname{Im} a_{-2k} - r^{-4} \operatorname{Im} b_{-4k} + \operatorname{Im} b_{0k}) \sin 2\theta, \\ \sigma_\theta(z)_k &= 2 \operatorname{Re} a_{0k} + r^{-2} \operatorname{Re} b_{-2k} + (4r^2 \operatorname{Re} a_{2k} + r^{-4} \operatorname{Re} b_{-4k} + \operatorname{Re} b_{0k}) \cos 2\theta + \\ &\quad + (-4r^2 \operatorname{Im} a_{2k} + r^{-4} \operatorname{Im} b_{-4k} - \operatorname{Im} b_{0k}) \sin 2\theta, \\ \tau_{r\theta}(z)_k &= r^{-2} \operatorname{Im} b_{-2k} + (2r^2 \operatorname{Im} a_{2k} - 2r^{-2} \operatorname{Im} a_{-2k} + r^{-4} \operatorname{Im} b_{-4k} + \operatorname{Im} b_{0k}) \cos 2\theta + \\ &\quad + (2r^2 \operatorname{Re} a_{2k} + 2r^{-2} \operatorname{Re} a_{-2k} - r^{-4} \operatorname{Re} b_{-4k} + \operatorname{Re} b_{0k}) \sin 2\theta, \quad k = 1, 2. \end{aligned} \quad (3.2)$$

Определим, при каких значениях полярного угла θ напряжения σ_r , σ_θ , $\tau_{r\theta}$ на окружности $|z| = r$ достигают своих экстремальных значений. С этой целью, опустив ради удобства аргументы и индексы у напряжений, запишем формулы (3.2) в виде

$$\sigma_r = \alpha_1 + \operatorname{Re}(c_1 e^{2i\theta}), \quad \sigma_\theta = \alpha_2 + \operatorname{Re}(c_2 e^{2i\theta}), \quad \tau_{r\theta} = \alpha_3 + \operatorname{Im}(c_3 e^{2i\theta}),$$

где $\alpha_1, \alpha_2, \alpha_3$ — не зависящие от полярного угла θ действительные коэффициенты и $c_1 = 4r^{-2}\overline{a_{-2k}} - r^{-4}\overline{b_{-4k}} - b_{0k}$, $c_2 = 4r^2 a_{2k} + r^{-4}\overline{b_{-4k}} + b_{0k}$, $c_3 = 2r^2 a_{2k} + 2r^{-2}\overline{a_{-2k}} - r^{-4}\overline{b_{-4k}} + b_{0k}$. Так как $a_{-21} = a_{23} = b_{-41} = 0$, а остальные неизвестные постоянные a_{2k} , $\overline{a_{-2k}}$, b_{0k} , $\overline{b_{-4k}}$, как видно из формул (2.8), прямо пропорциональны числу Γ' с действительными коэффициентами пропорциональности, то $c_j = d_j \Gamma'$, где d_j — некоторые действительные числа. Следовательно, $\sigma_r = \alpha_1 + d_1 |\Gamma'| \operatorname{Re} e^{i(\arg \Gamma' + 2\theta)}$, $\sigma_\theta = \alpha_2 + d_2 |\Gamma'| \operatorname{Re} e^{i(\arg \Gamma' + 2\theta)}$, $\tau_{r\theta} = \alpha_3 + d_3 |\Gamma'| \operatorname{Im} e^{i(\arg \Gamma' + 2\theta)}$ и на окружности $|z| = r$ напряжения σ_r , σ_θ достигают своих экстремальных значений при полярных углах $\theta_1 = -\arg \Gamma'/2$ и $\theta_2 = (\pi - \arg \Gamma')/2$, а напряжение $\tau_{r\theta}$ — при $\theta_3 = (\pi - 2 \arg \Gamma')/4$ и $\theta_4 = -(\pi + 2 \arg \Gamma')/4$.

Таким образом, на каждой окружности $|z| = r$ экстремальные значения напряжений достигаются в точках, имеющих одни и те же полярные углы θ_1, θ_2 или θ_3, θ_4 , которые не зависят ни от полярного радиуса этих точек, ни от упругих и геометрических параметров пластины и заплатки, а зависят только от $\arg \Gamma'$, т. е. от действующих на бесконечности силовых параметров.

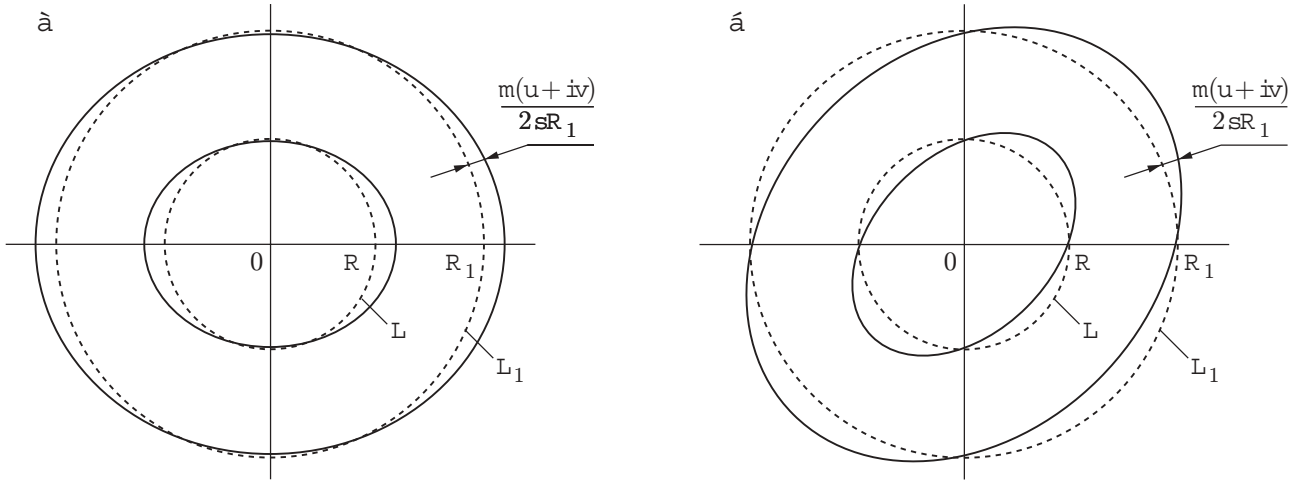


Рис. 1

Далее для нахождения экстремальных значений напряжений в каждой из областей S_k надо в формулах (3.2) положить $\theta = \theta_1$, $\theta = \theta_2$ или $\theta = \theta_3$, $\theta = \theta_4$ и у полученных степенных функций от полярного радиуса r найти экстремальные значения при изменении r в пределах, определяемых выбранной областью S_k .

Для нахождения смещений точек линий L и L_1 воспользуемся формулами

$$(u + iv)(R_1 e^{i\theta}) = \int_0^{R_1} \frac{\partial(u + iv)_1}{\partial r} dr + \int_0^\theta \frac{\partial(u + iv)_1}{\partial \theta} d\theta,$$

$$(u + iv)(R e^{i\theta}) = \int_0^{R_1} \frac{\partial(u + iv)_1}{\partial r} dr + \int_{R_1}^R \frac{\partial(u + iv)_2}{\partial r} dr + \int_0^\theta \frac{\partial(u + iv)_2}{\partial \theta} d\theta,$$

а также формулами (1.3), (3.1). После элементарных преобразований получим равенства

$$(u + iv)(R_1 e^{i\theta}) = R_1(-(\overline{a_{21}}R_1^2 + \overline{b_{01}})e^{-i\theta} + (\varkappa a_{01} - \overline{a_{01}})e^{i\theta} + \varkappa a_{21}R_1^2 e^{3i\theta}/3)/(2\mu_1),$$

$$(u + iv)(R e^{i\theta}) = R(-(\varkappa a_{-22}R^{-2} + \overline{a_{22}}R^2 + \overline{b_{02}})e^{-i\theta} + (\varkappa a_{02} - \overline{a_{02}} + \overline{b_{-22}}R^{-2})e^{i\theta} +$$

$$+ (\varkappa a_{22}R^2 - 3\overline{a_{-22}}R^{-2} + \overline{b_{-42}}R^{-4})e^{3i\theta}/3)/(2\mu).$$

ПРИМЕРЫ. Пусть пластина и заплатка, толщина которой вдвое меньше толщины пластины, имеют упругие постоянные $\mu = 40$ МПа, $\nu = 0,37$ и $\mu_1 = 174,2$ МПа, $\nu_1 = 0,22$ соответственно для Cu и сплава Al_2O_3 . Отношение радиусов выреза и заплатки 1:2. На бесконечности на пластину действует только растягивающее напряжение $\sigma_x^\infty = \sigma$ МПа или только сдвигающее напряжение $\tau_{xy}^\infty = \sigma$ МПа (в расчете на единицу толщины пластины). Все остальные исходные силовые параметры нулевые.

На рис. 1 сплошными линиями показаны деформации границ выреза L и заплатки L_1 , а пунктирными линиями — исходные положения окружностей L и L_1 до приложения нагрузок. Для наглядности смещения точек линий L и L_1 взяты с коэффициентом $\mu/(2\sigma R_1)$. Рис. 1,а соответствует случаю $\sigma_x^\infty \neq 0$, рис. 1,б — случаю $\tau_{xy}^\infty \neq 0$.

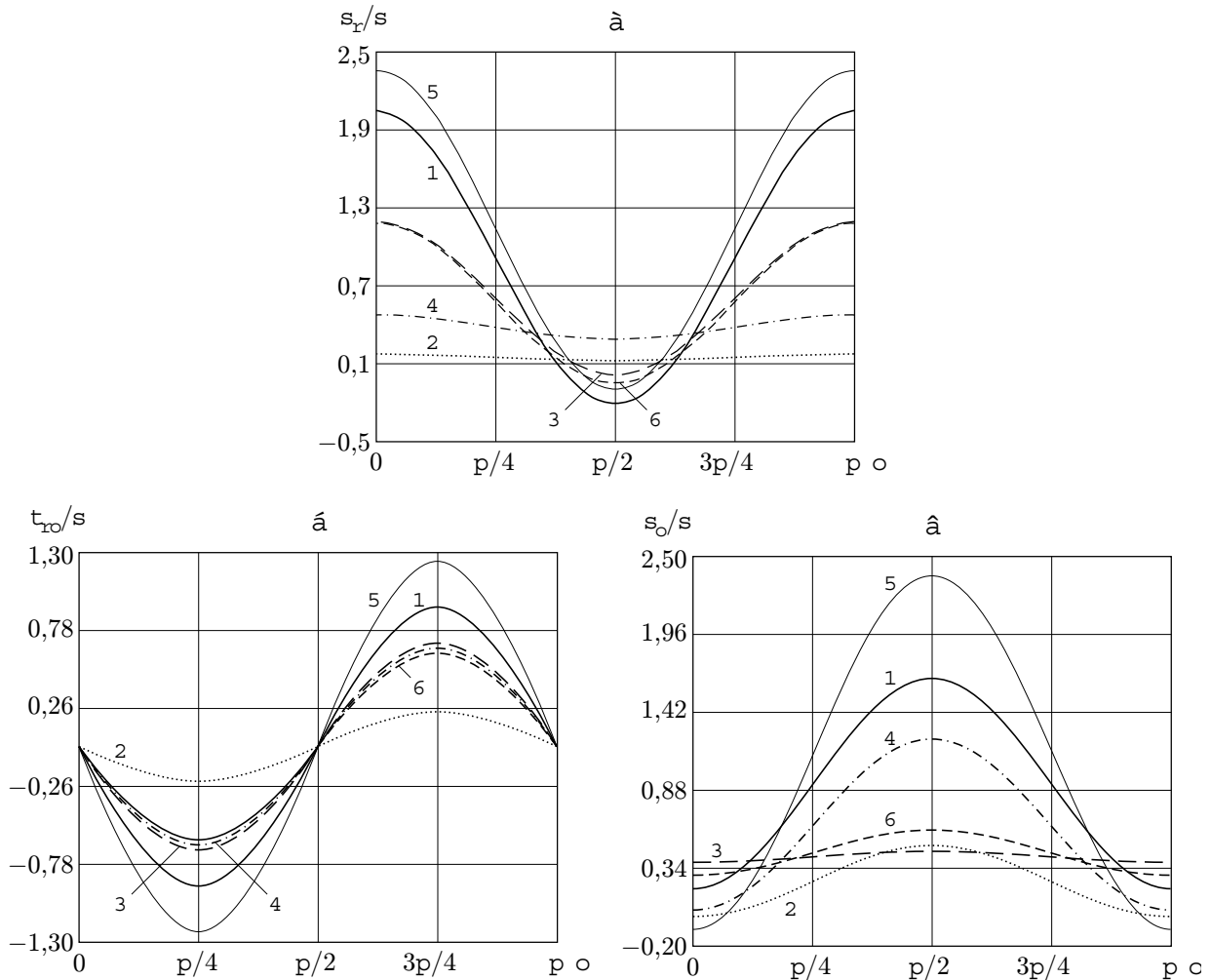


Рис. 2

На рис. 2 для случая приложения к пластине только нагрузки $\sigma_x^\infty = \sigma$ приведены графики напряжений σ_r (рис. 2,а), $\tau_{r\theta}$ (рис. 2,б) и σ_θ (рис. 2,в) на верхней половине линии соединения L_1 как со стороны пластины, так и со стороны заплатки в зависимости от полярного угла θ ($0 \leq \theta \leq \pi$). На нижней половине линии L_1 ($-\pi \leq \theta \leq 0$) напряжения распределены симметрично. Здесь и далее на рисунках цифрой 1 обозначены графики напряжений на L_1 со стороны заплатки, цифрами 2 и 3 — графики напряжений соответственно на внутренней и внешней стороне линии L_1 со стороны пластины, цифрой 4 — графики напряжений в случае классической задачи растяжения пластины со свободным от напряжений вырезом $|z| \leq R$ под действием отдаленной нагрузки σ_x^∞ , цифрами 5 и 6 — графики напряжений на L_1 изнутри и извне соответственно в случае заклеивания кругового выреза радиуса R_1 заплаткой того же радиуса.

Как следует из рис. 2, наличие кругового кольца S_2 в рассматриваемой задаче уменьшает концентрацию напряжений на линии соединения L_1 со стороны заплатки (график 1) по сравнению со случаем заделки выреза радиуса R_1 заплаткой того же радиуса (график 5), т. е. S_2 играет роль ребра жесткости.

На рис. 3 представлены графики растягивающего напряжения σ_θ на границе выреза L при $\sigma_x^\infty = \sigma$ (рис. 3,а) и $\tau_{xy}^\infty = \sigma$ (рис. 3,б). Сплошной линией показаны графики σ_θ на границе выреза при усилении его заплаткой, пунктирной линией — при отсутствии

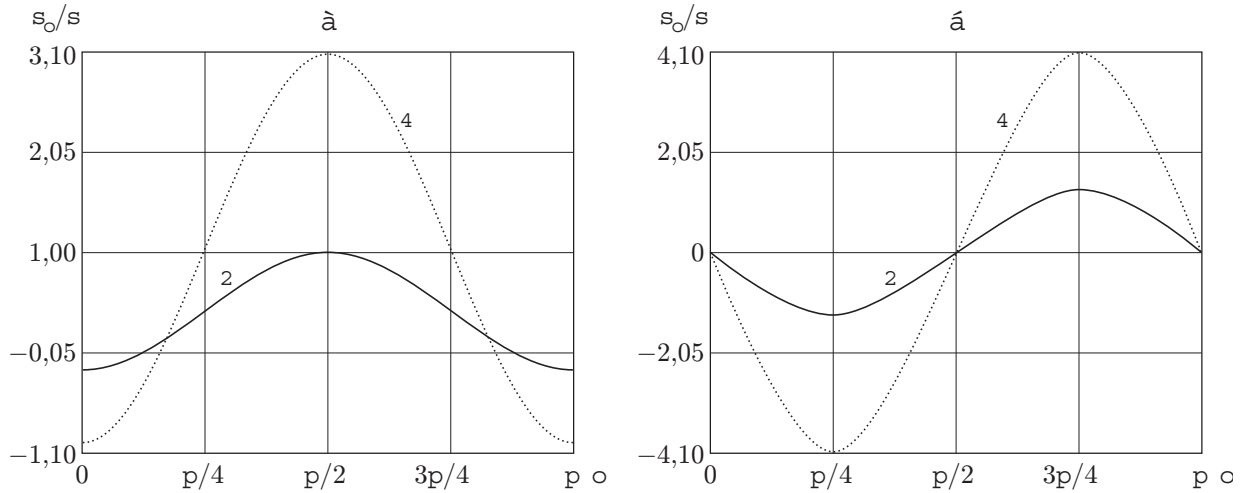


Рис. 3

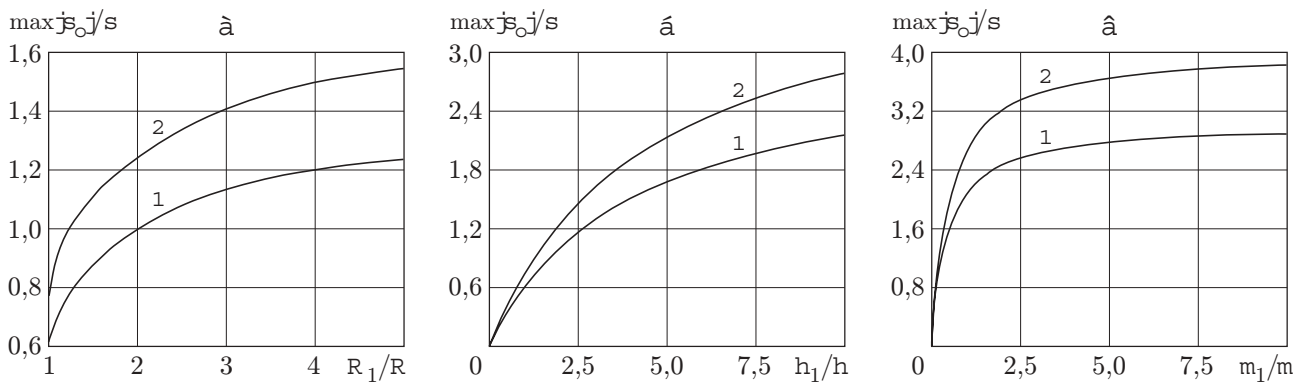


Рис. 4

заплатки. Напряжения σ_r и $\tau_{r\theta}$ на L равны нулю априори. Как следует из рисунка, в рассматриваемом примере наличие заплатки уменьшает концентрацию напряжения σ_θ на границе выреза в несколько раз.

На рис. 4 приведены графики максимального по абсолютной величине значения растягивающего напряжения σ_θ в пластине на границе выреза при усилении его заплаткой в зависимости от отношений R_1/R (рис. 4,а), h/h_1 (рис. 4,б), μ/μ_1 (рис. 4,в) — радиусов, толщин и модулей сдвигов заплатки и пластины. Линии 1 на рисунке — графики при нагружении пластины напряжением $\sigma_x^\infty = \sigma$, линии 2 — напряжением $\tau_{xy}^\infty = \sigma$. В отсутствие заплатки $\max |\sigma_\theta|$ на границе выреза равен 3σ при $\sigma_x^\infty = \sigma$ и равен 4σ при $\tau_{xy}^\infty = \sigma$. При $\sigma_x^\infty = \sigma$ максимальное значение $|\sigma_\theta|$ достигается в точках с полярными углами $\theta = \pm\pi/2$, а при $\tau_{xy}^\infty = \sigma$ — в точках с полярными углами $\theta = \pm\pi/4$ и $\theta = \pm3\pi/4$.

В других постановках задача ремонта пластин с дефектами посредством накладок рассматривается в работах [3–5].

ЛИТЕРАТУРА

1. Мусхелишвили Н. И. Некоторые основные задачи математической теории упругости. М.: Наука, 1966.

2. **Сильвестров В. В., Землянова А. Ю.** Напряженное состояние системы упругих пластин, соединенных вдоль окружности // Изв. Нац. акад. наук и искусств Чувашской Республики. 2000. № 4. С. 54–60.
3. **Bardzokas D., Exadaktylos G. E., Anastaselos G.** The effect of stringers and patches on the stress intensities around cracks in the plates // Eng. Frac. Mech. 1996. V. 55. P. 935–955.
4. **Lee K. Y., Kim O. W.** Stress intensity factor for sheet-reinforced and cracked plate subjected to remote normal stress // Eng. Frac. Mech. 1998. V. 61. P. 461–468.
5. **Wang C. H., Rose L. R. F.** Bonded repair of cracks under mixed mode loading // Intern. J. Solids Structures. 1998. V. 35, N 21. P. 2749–2773.

*Поступила в редакцию 4/IV 2003 г.,
в окончательном варианте — 23/IX 2003 г.*
